



IRANIAN SOCIETY of
CRYSTALLOGRAPHY
and MINERALOGY

Vol. 16, No. 2, summer 1387/2008

IRANIAN JOURNAL OF
CRYSTALLOGRAPHY
and MINERALOGY

Geology, Mineralization, Alteration and Geochemical Exploration in Kajeh area, Ferdows

M. H. Karimpour¹, M. Khosravi¹, M. Pourkhosro¹, M. R. Haidarian Shahri¹, S. Saadat²

1- Research center for ore deposit of Eastern Iran, Ferdowsi University of Mashhad

2- Dept. Geology, Mashhad Azad Islamic University

Email: mhkarimpour@yahoo.com

(Received: 17/10/2007, in revised form: 14/4/2008)

Abstract: The study area is situated within the Lut Block 50 Km northeast of Ferdows. The oldest exposed rocks are Cretaceous limestone. Kerman conglomerate cover the limestone. Dacite-rhyodacite lava and pyroclastic rocks erupted over Kerman conglomerate. Volcanic activities took place at different time in Tertiary. The composition ranges between trachyandesite, andesite, andesite-basalt and rhyolitic tuff. Sub-volcanic diorite, monzodiorite, monzonite, quartz monzonite and granite porphyry intruded the volcanic rocks during Oligo-Miocene time. Both volcanic and intrusive rocks are K-rich calc-alkaline to shoshonitic. Intrusive rocks (except granite porphyry) are I-type granite and belong to magnetite series. The pattern of spider diagrams both volcanic and intrusive rocks are similar. In comparison with mantle, They are enriched in Cs, K, Rb, La and Zr and depleted in Ba, P and Ti. Two groups of alteration zones are recognized: 1- silicified assemblages (silica-sericite-propylitic, silica-propylitic & silica- sericite). This group is related to granitic magma. 2- propylitic-sericitic-argillic group which are associated with monzonite, quartz monzonite-diorite intrusive rocks. Mineralization associated with granite porphyry show Mo, Ag, Pb and Zn anomalies. Mineralization associated with monzonite, quartz monzonite-diorite show signs of porphyry copper. They have Cu, Au, Pb and Zn geochemical anomalies.

Keywords: Kajeh, Ferdows, Geochemical exploration, alteration, mineralization.



زمین‌شناسی، کانی‌سازی، دگرسانی و دستاوردهای ژئوشیمیایی در منطقه کجه فردوس

محمدحسن کریم‌پور^۱، مجید خسروی^۱، محمود پورخسرو^۱، محمد رضا حیدریان شهری^۱، سعید سعادت^۲

۱- مرکز تحقیقات ذخایر معدنی شرق ایران دانشگاه فردوسی مشهد

۲- گروه زمین‌شناسی، دانشگاه آزاد اسلامی مشهد

mhkarimpour@yahoo.com پست الکترونیکی:

(دریافت مقاله: ۱۳۸۶/۷/۲۵ ، نسخه نهایی: ۱۳۸۷/۱/۲۶)

چکیده: منطقه مطالعاتی کجه در ۵۰ کیلومتری شمال غربی فردوس و در زون زمین‌ساختی بلوک لوت قرار گرفته است. آهکهای کرتاسه، قدیمی‌ترین سنگهای این منطقه را تشکیل می‌دهند. روی آهکهای کرتاسه واحد کنگلومرایی قرار گرفته است که آن را معادل کنگلومرای کرمان می‌دانند. گدازه و توفهای داسیت-ریوداسیت روی کنگلومرای کرمان تشکیل شده‌اند. فعالیت‌های آتشفسانی به صورت تراکی آندزیت، آندزیت، بازالت-آندزیت، و توف ریولیتی در مقاطع زمانی مختلف تکرار شده‌اند. توده‌های آذرین نیمه عمیق الیگو-میوسن با طیف ترکیبی دیوریت، مونزونیت، کوارتز مونزونیت و گرانیت پورفیری در سنگهای آتشفسانی نفوذ کرده‌اند. توده‌های نفوذی و سنگهای آتشفسانی از نوع آهکی-قلایایی غنی از پتاسیم و گاهی شوشومنیتی، و توده‌های نفوذی (به استثنای گرانیت پورفیری) از نوع سری مگنتیت و گرانیت‌های از نوع A هستند. نمودار عنکبوتی سنگهای آتشفسانی و توده‌های نفوذی مشابه یکدیگرند. در مقایسه با گوشه، غنی شدگی عناصر Ba, P, Ti, Cs, K, Rb, La, Zr و کاهیدگی عناصر Au, Zn, Ag مشاهده می‌شود. دو مجموعه از زون‌های دگرسان در منطقه رخنمون، به صورت (۱) مجموعه زون‌های سیلیسی (سیلیس-سریسیت-پروپیلیتیک، سیلیس-پروپیلیتیک و سیلیس-سریسیت) که به توده گرانیت پورفیری مرتبط‌اند، و (۲) مجموعه دگرسان پروپیلیتیک، سریسیتیک و آرژیلیک که به توده‌های نفوذی مونزونیت، کوارتز مونزونیت، و دیوریت ارتباط دارند. کانی‌سازی مرتبط به گرانیت پورفیری دارای نابهنجاری Cu, Pb, Zn, Ag است، و در کانی‌سازی مرتبط به کوارتز مونزونیت، مونزونیت، شواهدی از مس پورفیری و عناصر نابهنجار Au, Zn, Ag مشاهده شده‌اند.

کلمات کلیدی: کجه، فردوس، بررسیهای ژئوشیمیایی، دگرسانی، و کانی‌سازی.

خاور ایران و مرز باختری گسل نایبند و بلوک طبس مشخص می‌شود. مرز شمالی این بلوک به گسل درونه و مرز جنوبی آن به فرونژنیت جازموریان محدود می‌شود. بلوک لوت دارای پوسته قاره‌ای با ضخامت حدود ۴۰ کیلومتر است [۲].

از نظر چینه‌شناسی بلوک لوت تنوع قابل توجهی دارد و در آن سنگهای پرکامبرین تا کواترنر رخنمون دارند. ولی سنگهای دوران دوم و تهنژنیت‌های جوان پلیوسن-کواترنر بخش چشمگیر بلوک لوت را می‌پوشانند [۳]. اگرچه تاریخچه چینه-

مقدمه منطقه مطالعاتی کجه در ۵۰ کیلومتری شمال غربی فردوس، و در زون زمین‌ساختی بلوک لوت واقع شده است. گستره مورد مطالعه با وسعت حدود ۶۵ کیلومتر مربع، بین $۳۰^{\circ} ۰۶' - ۵۷^{\circ} ۴۳'$ طول شرقی و $۱۶^{\circ} ۱۳' - ۳۴^{\circ} ۰۸'$ عرض شمالی قرار گرفته است (شکل ۱).

بلوک لوت با درازای حدود ۹۰۰ کیلومتر و پهنهای حدود ۲۰۰ کیلومتر، با مرز خاوری گسل نهیندان و حوضه فلیشی

- روش مطالعه**
- پردازش داده‌های ماهواره ندست ETM+ این منطقه با نرم افزار ENVI 4.0.
 - تهیه نقشه‌های زمین‌شناسی، کانی سازی، و دگرسانی با مقیاس ۱:۲۰۰۰۰ (۶۰ کیلومتر مربع).
 - برداشت مقاطع نازک و بررسیهای سنگی از ۱۵۰ نمونه برای بررسی دقیق سنگ شناختی و دگرسانی.
 - برداشت ۲۴ نمونه برای تهیه بلوک‌های صیقلی و مقاطع نازک صیقلی برای بررسیهای کاننگاری.
 - برداشت ۱۷ نمونه از ته نشستهای رودخانه‌ای.
 - برداشت ۷۹ نمونه سنگی از زون‌های دگرسان و کانی‌سازی شده برای بی جوییهای ژئوشیمیایی.
 - تجزیه نمونه‌ها با استفاده از روش جذب اتمی برای عناصر Cu, Zn, Pb, Ag, Sn, Sb, Mo دانشگاه فردوسی مشهد
 - تجزیه نمونه‌ها برای طلا در آزمایشگاه سازمان زمین‌شناسی کشور به روش جذب اتمی + کوره گرافیتی
 - تجزیه نمونه‌هایی از توده‌های نفوذی عناصر اصلی و جزئی
 - اندازه‌گیری پذیرفتاری مغناطیسی توده‌های نفوذی و سنگهای آتشفشاری.

شناختی بلوک لوت رابطه بسیار نزدیکی با نواحی دیگر خرده قاره ایران مرکزی نشان می‌دهد، ولی چهار ویژگی زمین‌شناسی بر بلوک لوت حاکم‌اند:

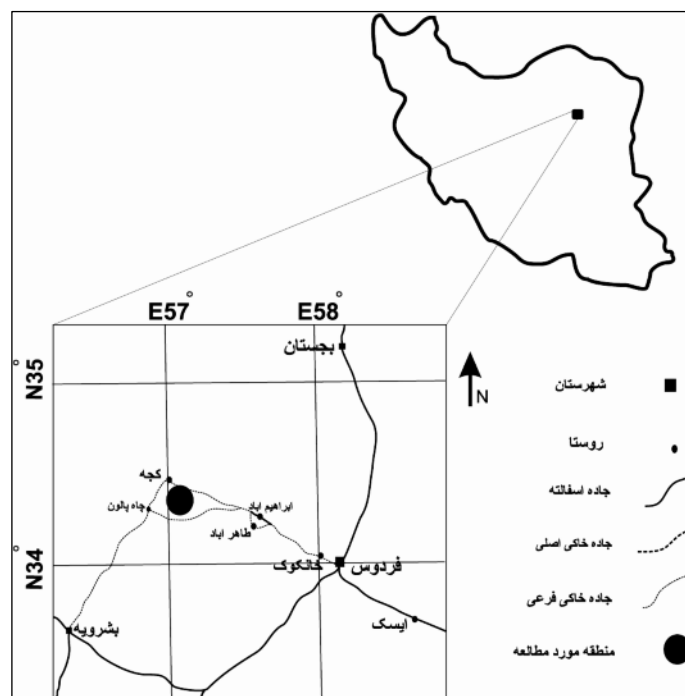
الف- تاثیر در خور توجه کوهزائی سیمرین پیشین بر سنگهای کهن‌تر از تریاس میانی.

ب- چین‌خوردگی، آتشفشاری، و پلوتونیسم شدید ژوراسیک میانی (سیمرین میانی) به ویژه در نواحی دهسلم و چهارفرسخ که با پایداری و سخت‌شدگی بلوک همراه است.

ج- فراوانی سنگهای آتشفشاری ترشیاری به ویژه اؤسن، که با داشتن ضخامت ۲۰۰۰ متر بیش از نیمی از بلوک لوت را می‌پوشاند.

د- نهشته‌های دریاچه‌ای تقریباً افقی پلیوس - پلیستوس بنام "سازنده لوت" که نشانگر عملکرد ضعیف فاز پسین رخداد چین‌خوردگی در این بلوک است.

نخستین فعالیت ماقمایی در بلوک لوت مربوط به ژوراسیک (۱۷۰ تا ۱۶۴ میلیون سال) است که به صورت انواع توده‌های گرانیتی رخمنون دارند [۴]. این در حالی است که این فعالیت در شمال بلوک لوت مربوط به کرتاسه فوقانی (۷۵ میلیون سال) است [۵]. مطالعاتی که توسط ترکیان در بلوک لوت صورت گرفت، حاکی از کانی‌سازی متنوع است [۶، ۷].



شکل ۱ موقعیت و راه دسترسی به منطقه مطالعاتی [۱].

شده‌اند (شکل ۲). اندازه و درصد کانی‌های قابل تشخیص در جدول (۱) گزارش شده‌اند.

تراکی آندزیت: این سنگها با مساحت حدود ۲/۳ کیلومتر مربع روی واحد داسیتی قرار گرفته و به دو صورت گدازه و توف در ارتفاعات رحیمی دیده می‌شوند (شکل ۲). اندازه و درصد کانی‌های قابل تشخیص در جدول (۱) گزارش شده‌اند.

آندزیت، هورنبلنده آندزیت و آندزیت-بازالت: این واحدها به صورت نواری از مرکز منطقه به سمت شمال غرب کشیده شده است (شکل ۲). وسعت این واحد حدود ۶۰ کیلومتر مربع است. بافت آنها تراکیتی و در نمونه دستی سیاه رنگ دیده می‌شوند. اندازه و درصد کانی‌های قابل تشخیص در جدول (۱) گزارش شده‌اند.

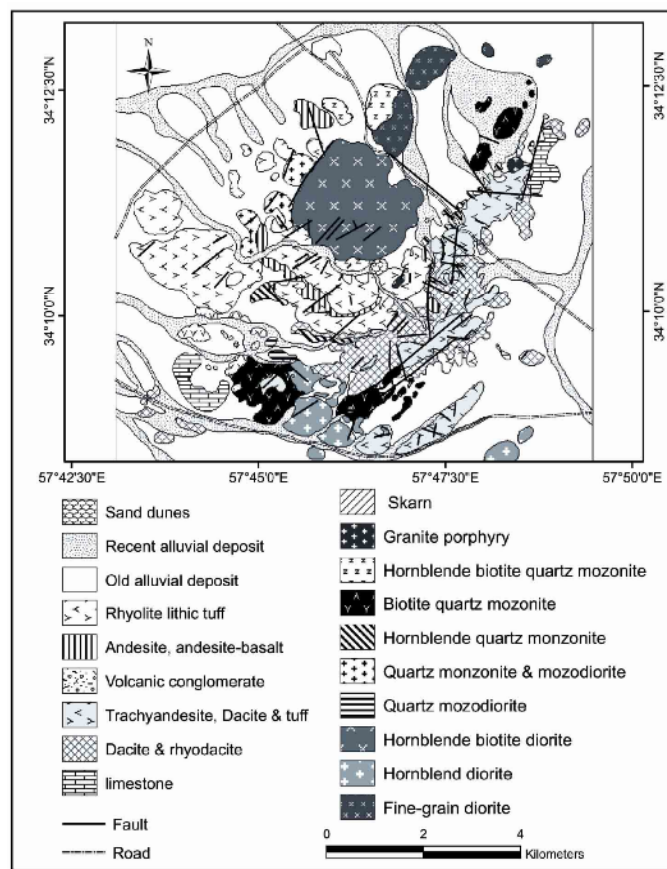
لیتیک توف: این واحد با وسعت حدود ۳/۶ کیلومتر مربع در بخش‌های مرکزی و شمال باختری منطقه رخمنون دارد. با توجه به فراوانی قطعات سنگی، این توفها از لحظه ساخت و بافت جزء توفهای سنگی به حساب می‌آیند. مقدار و درصد کانی‌های قابل تشخیص در جدول (۱) گزارش شده‌اند.

زمین‌شناسی منطقه سنگ شناختی

قدیمی‌ترین سنگهای این منطقه عبارتند از آهکهای کرتاسه که دارای فسیل‌های رودیست (شاخص کرتاسه فوقانی) و کرینوئید فراون بوده و در شرق منطقه رخمنون دارند. روی آهکهای کرتاسه، واحد کنگلومراژی قرار گرفته که آن را هم ارز کنگلومراژی کرمان می‌دانند. ضخامت این واحد در منطقه از ۵۰ تا ۷۰ متر در تغییر است. قطعات تشکیل دهنده این کنگلومراها بیشتر مربوط به آهک کرتاسه مربوط می‌شود. این قطعات گردشگی خوب تا متوسط و جورشده‌گی ضعیف تا متوسط نشان می‌دهند.

واحدهای دیگر زمین‌شناسی عبارتند از:

داسیت، ریوداسیت: این واحد بیشتر سنگهای آذرآواری و گاهی به صورت گدازه، بیشترین گسترش را در منطقه دارد (۳/۸ کیلومتر مربع). این سنگها روی آهکهای کرتاسه و واحد کنگلومراژی قرار گرفته‌اند و در بعضی نقاط به شدت سیلیسی



شکل ۲ نقشه زمین‌شناسی منطقه کجه [۱، ۸].

جدول ۱ ترکیب کانی‌شناختی سنگهای آتشفشتانی منطقه کجه.

نام واحد	پلاژیوکلاز	آلکالی فلدوپات	کوارتز	بیوتیت	هورنبلند	پیروکسن	کانی اوپاک
داسیت، ریوداسیت	0.2-1.4 mm	0.4-1 mm	0.4-0.8 mm	-	-	-	%2-3
تراکی‌آندزیت	%20-25 0.2-1.5 mm	0.4-1.5 mm %10-20	0.4-0.8 mm	%2-3	%5-10	-	%1-2
هورنبلند آندزیت و آندزیت- بازلت	%55-65 0.1-0.2 mm	0.1-0.2 mm %5-8	%4-6	%5-15	%5-20	%4-5	
لیتیک توف	%15-20	%15-18	%5-8	%1-2	-	-	%2-3

درصد) است. اندازه و درصد کانیهای قابل تشخیص در جدول (۲) گزارش شده‌اند.

هورنبلند کوارتز مونزونیت پورفیری: این واحد به صورت سه رخنمون در باخته و شمال خاوری منطقه دیده می‌شود (شکل ۲). گسترش این واحد در منطقه در حدود ۰/۴ کیلومتر مربع است. بافت این سنگها پورفیری است. اندازه و درصد کانیهای

قابل تشخیص در جدول (۲) گزارش شده‌اند.

کوارتز مونزونیت پورفیری: این واحد به صورت رخنمون کوچکی (۰/۱ کیلومتر مربع) در باخته شمال باخته منطقه دیده می‌شود (شکل ۲). بافت این سنگها از نوع پورفیری است. اندازه و درصد کانی‌های قابل تشخیص در جدول (۲) گزارش شده‌اند.

گرانیت پورفیری: رخنمون بسیار کوچکی از این واحد در مرکز به سمت شمال منطقه دیده می‌شود (شکل ۲). این سنگها بافت پورفیری دارند و فنوکریستهای ۳۵ تا ۴۰ درصد) کوارتز در زمینه سیلیسی و کربناتی تشکیل شده است. کوارتز در این سنگ به دو صورت اولیه (درشت دانه) و ثانویه (ریز دانه) دیده می‌شوند. کانیهای کدر به مقدار بسیار اندک به صورت شکلدار در این سنگ دیده می‌شوند.

اسکارن: در جنوب باخته منطقه، نفوذ توده‌های هورنبلند دیوریت پورفیری، کوارتز مونزوندیوریت پورفیری و بیوتیت کوارتز مونزونیت پورفیری و نیز حضور واحد کربناتی (واحد کربناته خارج از گستره مطالعاتی و مجاور حاشیه جنوب باخته منطقه است) باعث تشکیل اسکارن شده است که رخنمونهای کوچکی از آن در منطقه قابل مشاهده است.

هورنبلند دیوریت پورفیری: این واحد با گسترش حدود ۱/۷ کیلومتر مربع در باخته جنوبی و جنوب باخته منطقه رخنمون دارد (شکل ۲). بافت این سنگها از نوع پورفیری است و کانیهای فنوکریست به ۵۰ تا ۶۰ درصد می‌رسد. اندازه و میزان درصد کانیهای قابل تشخیص در جدول (۲) گزارش شده است.

هورنبلند بیوتیت دیوریت پورفیری: این واحد با وسعت حدود ۱/۲ کیلومتر مربع در مرکز منطقه رخنمون دارد (شکل ۲). بافت این سنگها، پورفیری تا گلومروی پورفیری است (فنوکریستها ۴۵ تا ۵۰ درصد). اندازه و درصد کانی‌های قابل تشخیص در جدول (۲) گزارش شده‌اند.

کوارتز مونزوندیوریت پورفیری: به صورت دو رخنمون کوچک (۰/۱۲ کیلومتر مربع) در باخته منطقه دیده می‌شوند (شکل ۲). این سنگها بافت پورفیری و بادامکی دارند و حاوی ۵۵ تا ۶۰ درصد فنوکریست هستند. اندازه و درصد کانیهای قابل تشخیص در جدول (۲) گزارش شده‌اند.

هورنبلند بیوتیت کوارتز مونزونیت پورفیری: رخنمون کوچکی (۰/۱۵ کیلومتر مربع) از این واحد در جنوب توده هورنبلند بیوتیت دیوریت پورفیری مشاهده شده است (شکل ۲). بافت این سنگها پورفیری است. اندازه و درصد کانی‌های قابل تشخیص در جدول (۲) گزارش شده‌اند.

بیوتیت کوارتز مونزونیت پورفیری: در جنوب و جنوب باخته منطقه با گسترش حدود ۱/۳ کیلومتر مربع رخنمون دارد (شکل ۲). بافت این سنگها پورفیری (فنوکریستها ۳۵ تا ۴۰

جدول ۲ ترکیب کانی‌شناختی توده‌های نفوذی منطقه کجه.

نام واحد	پلازیکلز	فلدسبات قلیانی	کوارتز	بیوتیت	هورنبلند	پیروکسن	کدر
هورنبلند دیوریت	۰.۵-۱.۵ mm %۴۰-۵۰	%۲-۳	-	-	%۳-۱۰ ۰.۵-۱.۵ mm	-	%۳-۵
هورنبلند بیوتیت دیوریت	۰.۳-۰.۷ mm %۲۰-۴۰	۰.۴-۱.۳ mm %۵-۸	-	۱ mm %۲-۳	۰.۲ mm %۵	۰.۲ mm %۵	%۳-۵
کوارتز مونزودیوریت	۱-۱.۵ mm %۵۵-۶۰	۰.۵-۱.۳ mm %۷-۱۵	%۱۰-۱۵	-	-	-	%۲-۳
هورنبلند بیوتیت کوارتز مونزونیت	۰.۲-۲ mm %۱۵-۲۰	۰.۲-۱.۳ mm %۱۰-۱۵	%۱۰-۱۵	%۴-۸	%۴-۶	%۰-۱	%۳-۶
بیوتیت کوارتز مونزونیت	۰.۱-۱.۵ mm %۱۵-۲۰	۰.۱-۱ mm %۱۵-۱۸	۰.۵-۱.۵ %۸-۱۵	۰.۵-۱.۵ mm %۴-۶	%۰-۳	-	%۲-۳
هورنبلند کوارتز مونزونیت	۰.۵-۱.۵ mm %۲۵-۳۵	۰.۴-۱.۶ mm %۲۵-۳۵	%۱۵-۱۷	%۱-۴	%۱۰-۱۴	-	%۲-۴
کوارتز مونزونیت	۰.۵-۱.۵ mm %۲۰-۲۵	۰.۳-۱ mm %۱۰-۱۲	%۱۵-۲۰	-	-	-	%۱-۳

گسل از دوگسل اصلی و فرعی تشکیل شده است و بیشتر کانی‌سازی‌ها و گود برداریها (ترانشه و چاهک) در بخش غربی این گسلها صورت گرفته است.

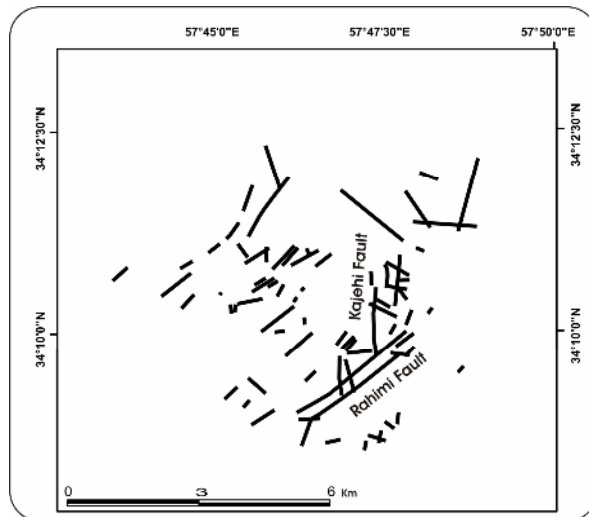
گسل چاه پالون: گسل چاه پالون با راستای شمال خاوری-جنوب باختری در بخش شمال باختری منطقه مورد مطالعه قرار دارد و از نوع عادی است که در بخش‌های جنوبی تقریباً پوشیده است. واحدهایی که در بخش‌های باختری آن واقع شده‌اند، یک افتادگی نسبی را نشان می‌دهند. آثار کانی‌سازی در عرض این گسل نیز دیده می‌شوند.

گسل کجه: گسل کجه از نوع راستا لغز با روند شمالی-جنوبی است (شکل ۳). آغاز و پایان آن تقریباً پوشیده شده، ولی بخش مرکزی آن باعث جابه جایی شده است.

زمین‌شناسی ساختاری منطقه

با مطالعات صحرایی روی انواع شکستگیها (گسل و درزه) می‌توان پی برد که منطقه کجه از لحاظ زمین‌شناسی فعال بوده و به شدت زمین‌ساخته شده است. در این منطقه سه گسل اصلی و تعداد زیادی گسل فرعی با روندهای شمالی-جنوبی و شمال خاوری-جنوب باختری شناخته شده‌اند (شکل ۳).

گسل رحیمی: این گسل با طول حدود ۳/۵ کیلومتر و عرض ۵۰ متر، مهمترین گسل منطقه مورد مطالعه است زیرا بیشتر کانی‌سازی‌ها، آثار شدادی و گودبرداریها در راستای این گسل صورت گرفته است. این گسل از نوع عادی و از روند شمال خاوری-جنوب باختری است، و شبیه ۸۰-۸۵ درجه در راستای شمال باختری است. این گسل در بخش جنوب خاوری منطقه مورد مطالعه قرار گرفته است (شکل ۳). کانی‌سازی منطقه بیشتر در راستای این گسل صورت گرفته است. این

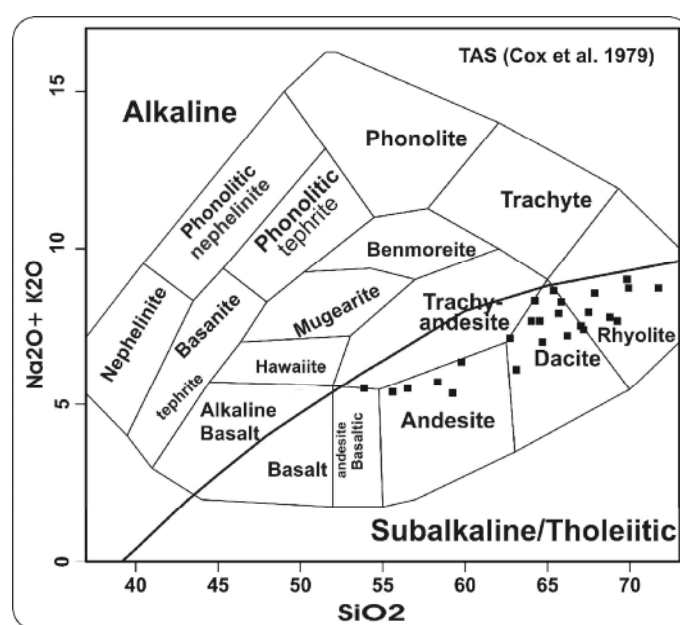


شکل ۳ نقشه گسلهای منطقه [۱، ۸].

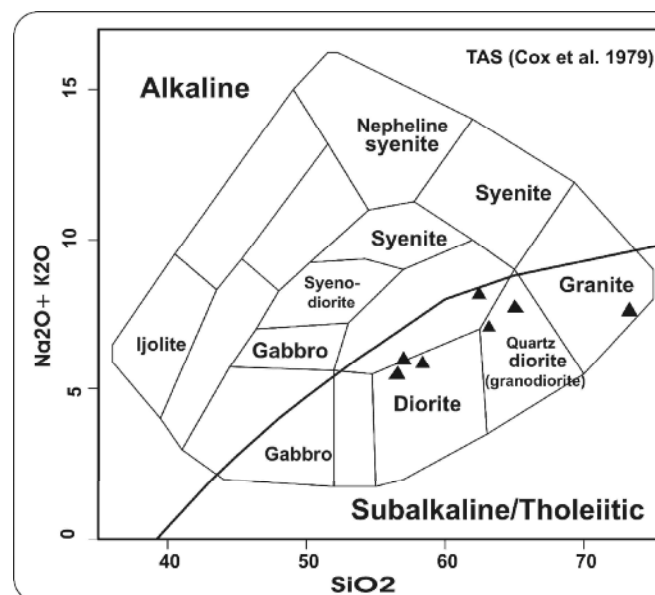
در نمودار شکل (۷) توده‌های نفوذی و سنگ‌های آتشفسنایی از نوع آهکی- قلیایی غنی از پتاسیم و برخی شوشاونیتی هستند. نمودار عنکبوتی سنگ‌های آتشفسنایی و توده‌های نفوذی نسبت به گوشه‌های ترسیم شدند (شکل‌های ۸ و ۹). تفاوتی بنیادی بین دو نمودار مشاهده نمی‌شود. در مقایسه با گوشه، غنی شدگی عناصر Cs, K, Rb, La, Zr و کاهیدگی عناصر Ba, P, Ti مشاهده می‌شود (شکل‌های ۸ و ۹).

سنگ شناختی

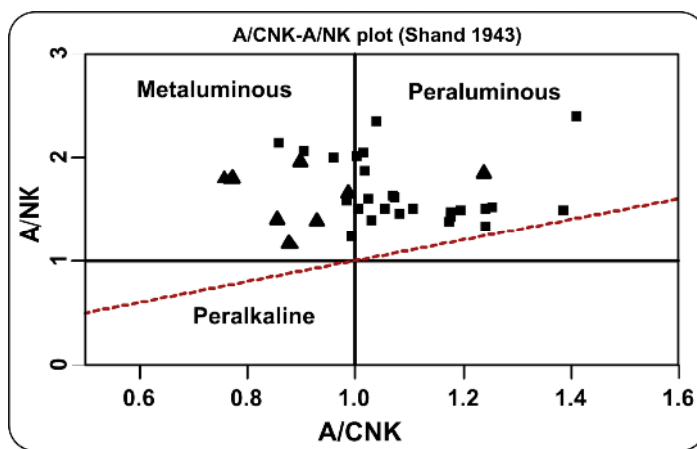
ترکیب شیمیایی سنگ‌های آتشفسنایی و توده‌های نفوذی در نمودار کاکس [۹] ترسیم شده‌اند (شکل‌های ۴ و ۵). برپایه این نمودارها سنگ‌های آذرین منطقه از نوع نیمه قلیایی هستند. در نمودار شاند توده‌های نفوذی (مثلث) بیشتر متالومینوس و سنگ‌های آتشفسنایی بیشتر پرماتالومینوسند (شکل ۶).



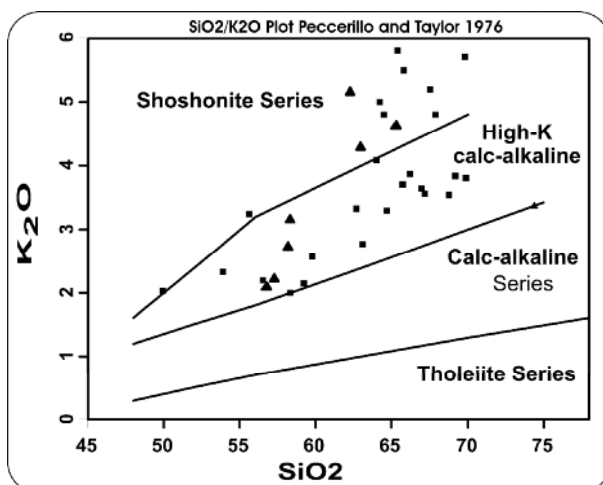
شکل ۴ نامگذاری سنگ‌های آتشفسنایی [۱۰، ۹].



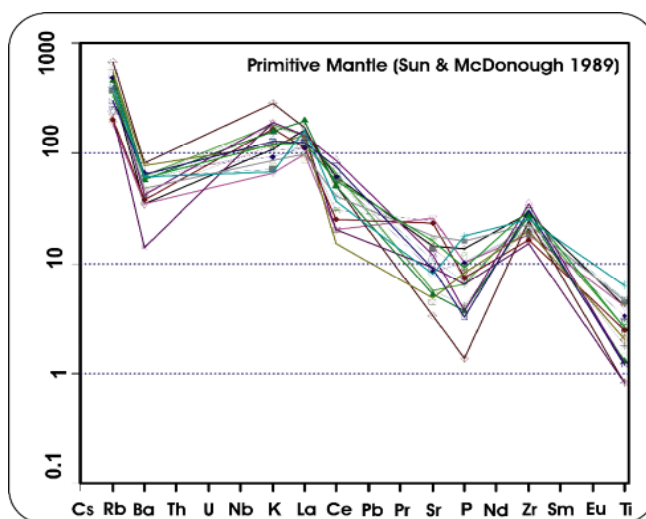
شکل ۵ نامگذاری توده‌های نفوذی [۱۱، ۹].



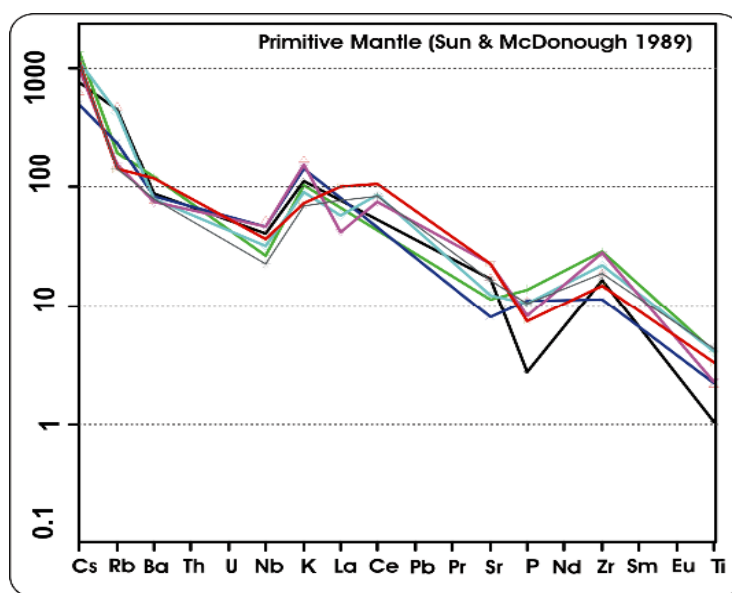
شکل ۶ نمودار شاند برای تعیین شاخص آلومینیوم [۱۰-۱۲].



شکل ۷ نمودار پیکولی و تیلور برای تعیین سری تولگی‌ایت از آهکی-قلیابی [۱۱، ۱۰ و ۱۳].



شکل ۸ نمودار عنکبوتی سنگ‌های آتشفشنانی [۱۴].



شکل ۹ نمودار عنکبوتی توده‌های نفوذی [۱۴].

سیلیسی خود به چند زون از جمله: زون سیلیس - سریسیت - پروپلیتیک، زون سیلیس - پروپلیتیک، و زون سیلیس - سریسیت قابل تقسیم است (شکل ۱۰) (۱۰).

دگرсанی سریسیتیک: در مرکز و باخترا نقشه (شکل ۱۰) انواع دگرсанی سریسیتیک رخنمون دارند. این دگرсанیها نسبتاً گستردگ بوده و گستره گستردگی را پوشش می‌دهند. برایانی، به انواع زون‌های سریسیت، سریسیت - سیلیس، سریسیت - آرژیلیک، و سریسیت - پروپلیتیک قابل تقسیم است (شکل ۱۰). این دگرсанی با کانی‌سازی مس همراه بوده و با توده‌های مونزونیت و کوارتز مونزونیت در ارتباط است.

دگرсанی آرژیلیک: در باخترا نقشه (شکل ۱۰) دگرсанی آرژیلیک با شدت متوسط رخنمون دارد.

دگرсанی پروپلیتیک: این دگرсанی گسترش نسبتاً زیادی دارد (شکل ۱۰). احتمالاً در چند مرحله زمانی رخداده است. برایانی میزان فراوانی کانی‌های دیگر به زون‌های: پروپلیتیک، پروپلیتیک - سریسیتیک - آرژیلیک، پروپلیتیک - آرژیلیک - سریسیتیک - آرژیلیک از زون سریسیتیک را در بر می‌گیرد (شکل ۱۰).

کانی‌سازی: کانی‌سازی منطقه احتمالاً در دو مرحله رخ داده است. ۱- کانی‌سازی وابسته به گرانیت پورفیری و ۲- کانی‌سازی وابسته به کوارتز مونزونیت - دیوریت پورفیری. به نظر

دگرسانی و کانی‌سازی

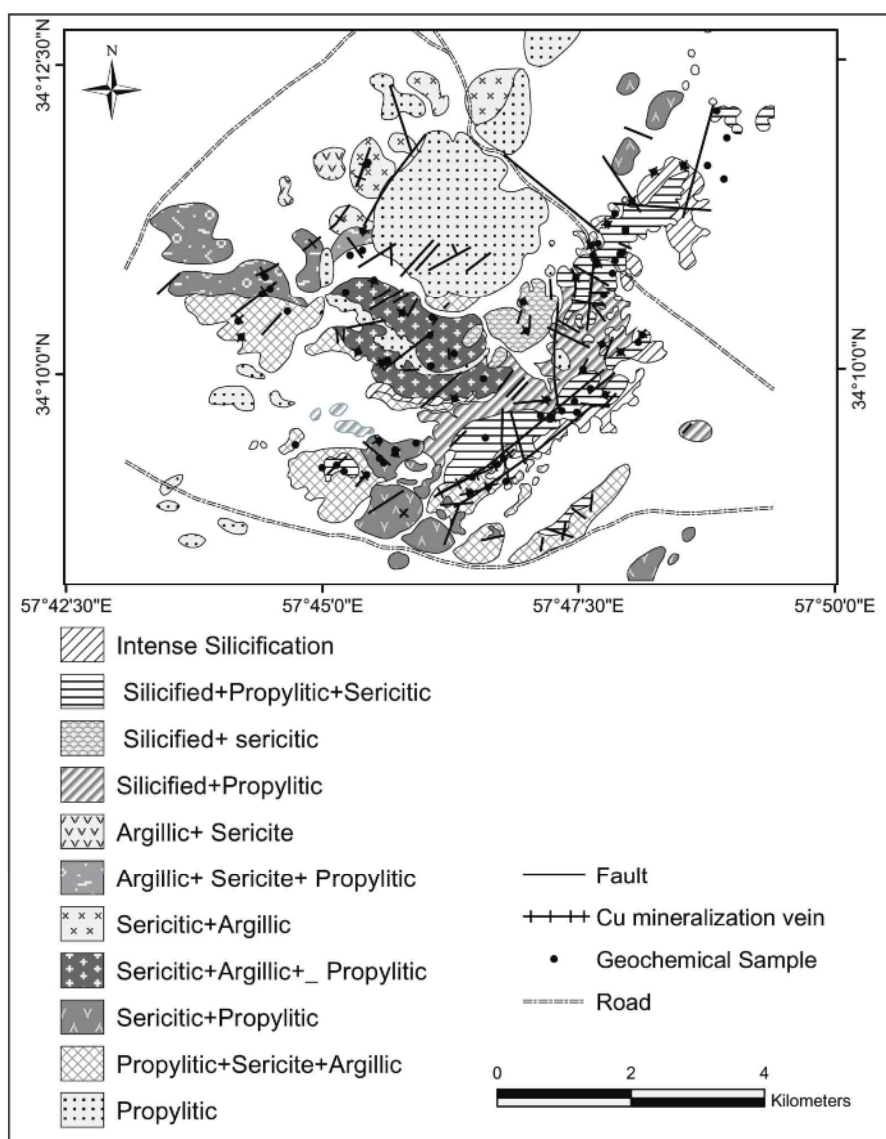
بر پایه منطقه بندی، شکل، ابعاد، و ارتباط آنها با توده‌های نفوذی و گسل‌ها، حداقل دو مجموعه از زون‌های دگرسان در منطقه رخنمون دارند. ۱- مجموعه زون‌های سیلیسی (سیلیس - سریسیت - پروپلیتیک)، سیلیس - پروپلیتیک و سیلیس - سریسیت (شکل ۱۰). این مجموعه با توده گرانیت پورفیری گسل کجه (شکل ۱۰) در شرق نقشه در راستای گسل رحیمی و که در خاور نقشه در شمال جاده کجه رخنمون دارد و استهاند. ۲- مجموعه دگرسانی پروپلیتیک، سریسیتیک، و آرژیلیک در مرکز و باخترا نقشه رخنمون دارند (شکل ۱۰). این دگرسانیها با مجموعه توده‌های نفوذی مونزونیت - کوارتز مونزونیت و با مجموعه توده‌های نفوذی سیلیسی در ارتباط هستند.

دگرسانی سیلیسی: سیلیس به صورت کوارتز ریز بلور به حالت رگچه، در متن سنگ و رگه‌های کوارتز و آمیتیست مشاهده می‌شود. در خاور نقشه (شکل ۱۰) و در شمال جاده یک گرانیت پورفیری رخنمون دارد. توده گرانیت و سنگهای آتشفسانی مجاور آن به شدت سیلیسی شده‌اند، به طوریکه رگچه‌های سیلیس از فراوانی بیشتری برخوردارند. به سمت جنوب در امتداد گسل رحیمی و گسل کجه فراوانی رگه‌های کوارتز - آمیتیست افزایش می‌یابد. با دور شدن از رخنمون گرانیت پورفیری علاوه بر کوارتز، کانیهای سریسیت، کلریت - اپیدوت در سنگ دیده می‌شوند که برایانی میزان فراوانی، زون

آهن و کربنات، سیلیکات، اکسید و سولفیدهای مس به صورت ثانویه در سطح زمین مشاهده می‌شوند. در راستای گسل رحیمی کانی سازی مس به صورت رگه‌ای تشکیل شده است. دو رگه تقریباً موازی در بخش جنوبی منطقه رخنمون دارند. رگه اصلی با راستای N50E حدود ۲ کیلومتر طول دارد. آثار شدادی فراوان به همراه آثار معدن‌کاری جدید (ترانشه و چاهک) در محل دو رگه اصلی و فرعی دیده می‌شوند که نشان از سابقه طولانی بهره برداری در این منطقه است [۱۵].

می‌رسد که در این منطقه بخش فوقانی کانی سازی به گرانیت پورفیری وابسته باشد که پیشنهاد می‌شود مورد بررسی و مطالعه بیشتری قرار گیرد. بررسیها نشان داده‌اند که کانی سازی مس کوارتز مونزونیت و مونزونیت احتمالاً به نوع پورفیری وابسته باشد.

در باخته و مرکز منطقه (شکل ۱۰)، کانی سازی به حالت افسان و داربستی در توده‌های نفوذی و سنگهای آتشفسانی رخداده است. پیریت و کالکوپیریت به صورت اولیه و اکسیدهای



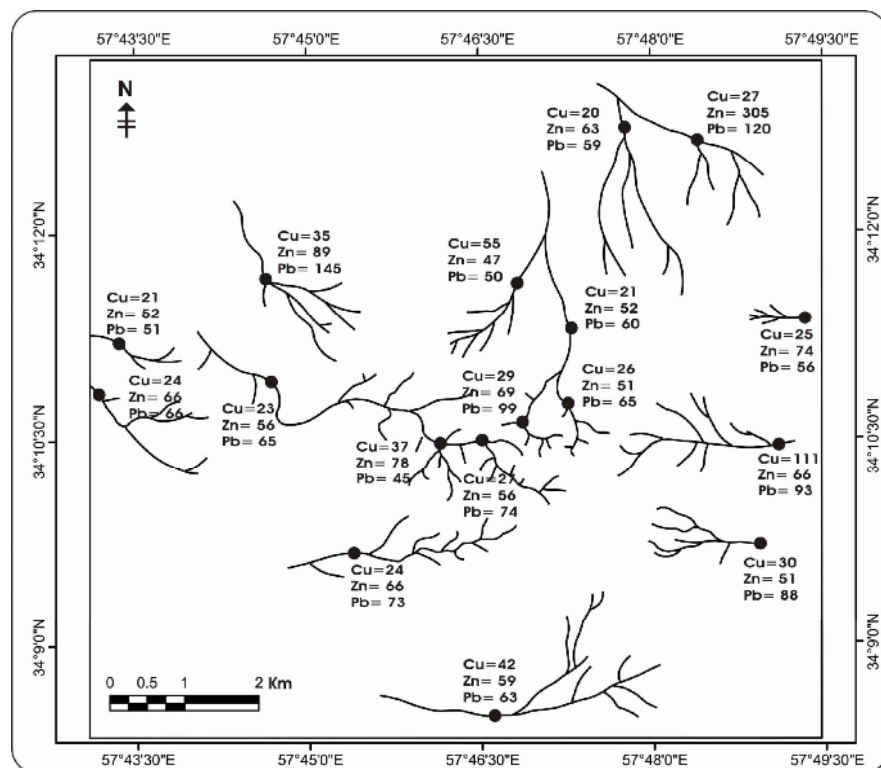
شکل ۱۰ نقشه دگرسانی منطقه کجه [۱] و [۸].

نقشهٔ ژئوشیمی مس نشان می‌دهد که نابهنجاریهای مس در غرب، مرکز، و بخش جنوبی منطقه پراکنده شده‌اند (شکل ۱۲). میزان مس بین 45 ppm تا 48000 ppm نغیر می‌کند (جدول ۳). نتایج تجزیه مس با زونهای دگرسان - کانی‌ساز، و توده‌های نفوذی همخوانی خوبی نشان می‌دهند. نابهنجاری Mo در بخش شمال و شمال خاوری و در گسترهٔ گرانیت پورفیری دیده می‌شود (شکل ۱۲). میزان Mo بین 1 ppm تا 80 ppm نغیر می‌کند (جدول ۳). نابهنجاریهای Pb, Zn, Ag, Sn, Sb, Mo همپوشی خوبی با یکدیگر نشان می‌دهند (شکل ۱۲). میزان Pb بین 20 ppm تا 23000 ppm ، میزان Zn بین 40 ppm تا 52000 ppm و میزان Ag بین 1 ppm تا 34 ppm نغیر می‌کند (جدول ۳). در بخش خاوری منطقه کانی‌سازی از روند شمال خاوری-جنوب باختری برخوردار بوده و بیشتر به صورت رگه‌ای و در راستای گسلهای رحیمی و کجه رخداده است (شکل ۱۲). نابهنجاری دوم در باختر و شمال باختری قرار دارد (شکل ۱۲). در بیشتر دوازده نمونه تجزیه شده طلا نابهنجاری ثبت شده، به طوریکه بیشترین غلظت آن در نمونه‌های KAG-54, 55, KAG5 گزارش شده است (جدول ۴).

پی‌جوییهای ژئوشیمیایی

برپایه نتایج داده‌های ماهواره‌ای، نقشه زمین‌شناسی، دگرسانی، و نقشهٔ توپوگرافی، ۱۷ نقطه برای برداشت ته نشسته‌های رودخانه‌ای مناسب تشخیص داده شدند (شکل ۱۱). نمونه‌ها پس از آماده سازی تا حد ۸۰ mesh - خردایش و برای عناصر Cu-Au, Pb, Zn, Ag, Sn, Sb, Mo میزان نابهنجاری Pb, Zn در نمونه‌های شمالی مشاهده شد (شکل ۱۱)، ولی بیشترین نابهنجاری Cu در نمونه‌های خاوری و تعدادی از نمونه‌های مرکزی و بخش جنوبی قابل مشاهده‌اند (شکل ۱۱).

۷۹ نمونه سنگی به روش خرد سنگ از زونهای مختلف دگرسان و کانی‌سازی شده، برای پی‌جوییهای ژئوشیمیایی برداشت شدند (شکل ۱۰). نمونه‌ها پس از آماده‌سازی با Cu, Zn, Pb, Ag, Sn, Sb, Mo مورد تجزیه و تحلیل قرار گرفتند (جدول ۳). نمونه از مجموع ۷۹ نمونه انتخاب و برای طلا در آزمایشگاه سازمان زمین‌شناسی کشور به روش جذب اتمی + کوره گرافیتی تحلیل شدند (جدول ۴).



جدول ۳ نتایج تجزیه شیمیایی نمونه‌های سنگی منطقه کجه [۸، ۱].

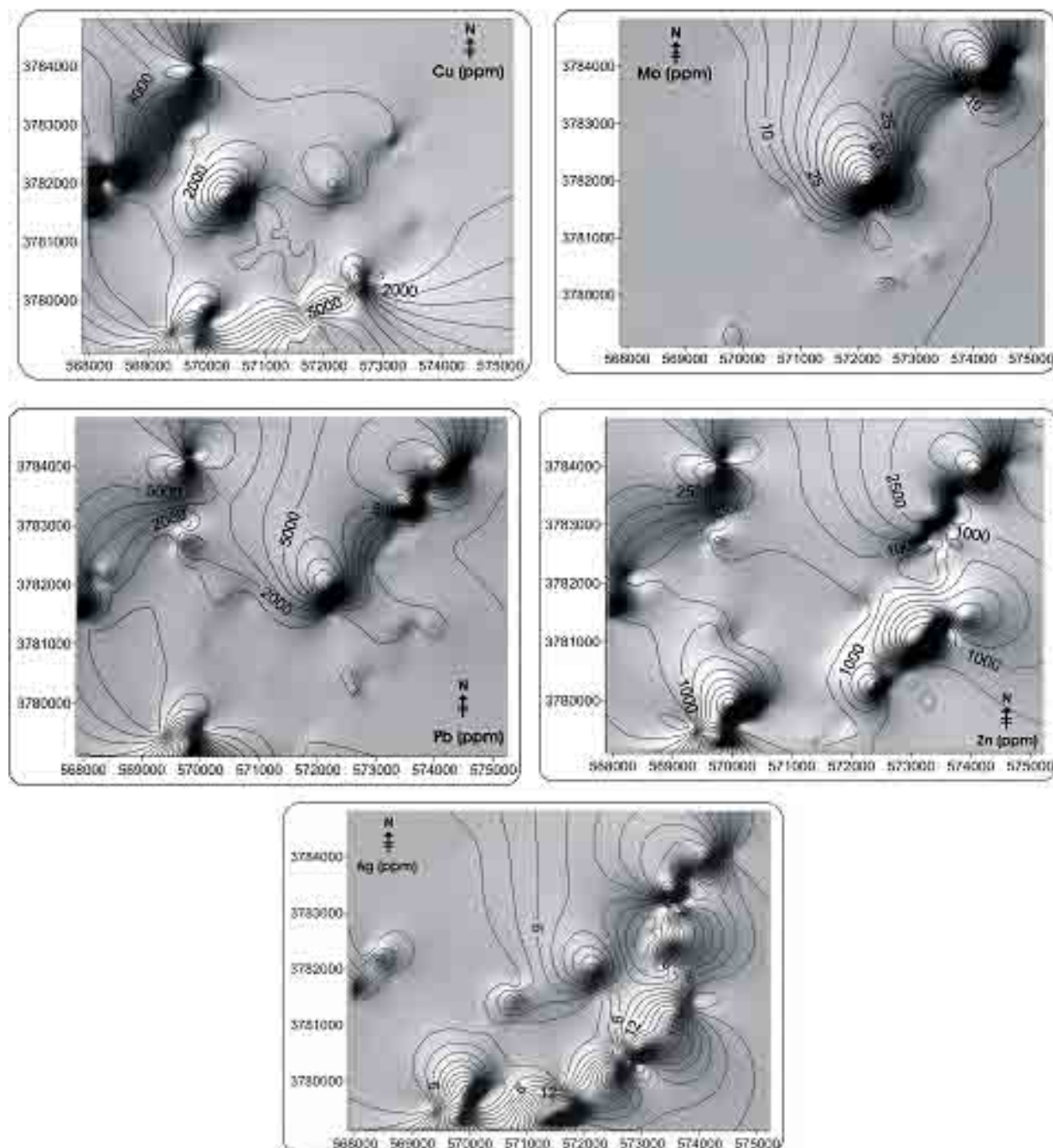
Sample	X	Y	Cu (ppm)	Zn (ppm)	Pb (ppm)	Ag (ppm)	Sn (ppm)	Sb (ppm)	Mo (ppm)
kag-1	۵۶۹۷۹۷	۳۷۸۴۰۰۶	۱۷۰۰	۳۷۵۰۰	۱۹۰۰	۰,۸	۰,۸	۰,۸	۱,۸
kag-2	۵۶۹۸۲۷	۳۷۸۴۰۲۶	۳۰,۷	۱۶	۱۲۲,۴	۰,۸	۰,۸	۰,۸	۱,۵
kag-3	۵۶۹۷۵۸	۳۷۸۳۰۱۸	۸۵,۴	۵۲,۹	۸۲,۳	۰,۸	۰,۸	۰,۸	۱,۵
kag-4	۵۶۹۷۴۵	۳۷۸۲۷۷۲۹	۱۱۰۰	۱۳۰۰	۵۰۰۰	۰,۸	۰,۸	۰,۸	۱,۸
kag-5	۵۶۹۵۶۱	۳۷۸۲۶۵۷	۴۷,۷	۲۴,۱	۸۹	۰,۸	۰,۸	۰,۸	۱,۵
kag-6	۵۶۹۴۹۲	۳۷۸۲۱۰۲	۳۱۸,۲	۸۷,۶	۲۲۲,۴	۰,۸	۰,۸	۰,۸	۱,۵
kag-7	۵۶۷۸۸۲	۳۷۸۱۶۶۱	۲۷۴۰۰	۱۵۰۰۰	۲۳۰۰۰	۱۲	۰,۸	۰,۸	۱,۵
kag-8	۵۶۸۲۴۲	۳۷۸۲۰۷۴	۱۰۸,۴	۷۵,۳	۴۵	۰,۸	۰,۸	۰,۸	۱,۵
kag-9	۵۶۸۲۸۲	۳۷۸۲۳۳۱	۱۰۰۰	۸۹۲,۲	۲۳۰۰	۰,۸	۰,۸	۰,۸	۱,۵
kag-10	۵۶۸۲۳۵۷	۳۷۸۲۱۵۵	۸۰۰۰	۳۰۶,۷	۳۲۰۰	۱۰,۳	۰,۸	۰,۸	۱,۵
kag-11	۵۶۸۶۲۳	۳۷۸۱۸۱۶	۳۱۰,۵	۸۴۶,۵	۵۲۰	۰,۸	۰,۸	۰,۸	۱,۵
kag-12	۵۶۷۹۲۹	۳۷۸۱۴۲۰	۳۹۲,۸	۱۸۰,۲	۴۳۱,۲	۰,۸	۰,۸	۰,۸	۱,۵
kag-13	۵۶۸۷۳۷	۳۷۷۹۸۱۲	۲۳,۸	۱۴,۳	۴۷,۹	۰,۸	۰,۸	۰,۸	۱,۵
kag-14	۵۶۹۸۰۸	۳۷۷۹۳۶۴	۱۵۰۰۰	۷۳۰۰	۱۵۰۰۰	۲۷,۶	۰,۸	۰,۸	۷
kag-15	۵۶۹۴۷۱	۳۷۷۹۴۱۷	۳۰۰۰	۱۰۰۰	۷۴۰۰	۱۹,۵	۰,۸	۰,۸	۱,۵
kag-16	۵۶۹۳۵۹	۳۷۷۹۵۰۸	۱۲۸,۶	۶۹,۲	۸۱,۷	۰,۸	۰,۸	۰,۸	۱,۵
kag-17	۵۶۹۱۴۰	۳۷۷۹۴۷۴	۳۸۳,۵	۴۸,۸	۴۲۰,۹	۰,۸	۰,۸	۰,۸	۱,۵
kag-18	۵۷۰۰۶۲	۳۷۷۹۵۴۶	۲۶۳,۹	۷۴,۵	۱۵۵,۱	۰,۸	۰,۸	۰,۸	۱,۵
kag-19	۵۶۹۹۹۹	۳۷۷۹۶۱۱	۴۶۱,۱	۸۴,۹	۴۳۵,۲	۱۴,۱	۰,۸	۰,۸	۱,۵
kag-20	۵۶۹۹۹۴	۳۷۷۹۸۷۶	۳۴۰۰	۲۰۴۰۰	۲۰۰۰	۱۹,۵	۰,۸	۰,۸	۱,۵
kag-21	۵۷۰۲۲۸	۳۷۷۹۶۸۳	۱۲۶,۵	۶۱۹,۲	۵۷۰,۱	۰,۸	۰,۸	۰,۸	۱,۵
kag-22	۵۷۰۲۲۶	۳۷۷۹۷۴۰	۹۶,۷	۱۶۰۰	۵۵۹,۹	۰,۸	۰,۸	۰,۸	۱,۵
kag-23	۵۷۰۰۵۰	۳۷۷۹۸۴۳	۲۸۰,۴	۲۱۱,۱	۱۶۱,۲	۰,۸	۰,۸	۰,۸	۱,۵
kag-24	۵۷۱۱۲۲	۳۷۸۰۵۰۰	۲۵۶,۷	۱۸۵,۴	۳۵۶,۴	۰,۸	۰,۸	۰,۸	۱,۵
kag-25	۵۷۱۰۹۶	۳۷۷۹۹۱۹	۳۰۸,۸	۱۵۹,۵	۲۰۳,۶	۰,۸	۰,۸	۰,۸	۱,۵
kag-26	۵۷۱۸۷۰	۳۷۷۹۶۰۵	۲۶۰۰۰	۱۱۹,۳	۱۴۶,۴	۱۷,۶	۰,۸	۰,۸	۱,۵
kag-28	۵۷۲۲۴۲۰	۳۷۸۰۲۴۶	۱۳۷,۸	۳۵۰۰	۵۶۹,۸	۱۷,۵	۰,۸	۰,۸	۶
kag-29	۵۶۹۸۷۸	۳۷۸۱۲۰۷	۱۵۰۰	۱۲۰۰	۵۸۸,۵	۰,۸	۰,۸	۰,۸	۱,۵
kag-30	۵۷۰۰۴۲	۳۷۸۱۰۳۵	۳۸۷,۷	۴۸۹,۳	۹۲۵,۷	۰,۸	۰,۸	۰,۸	۱,۵
kag-31	۵۷۰۱۲۲	۳۷۸۱۰۷۶	۳۶,۳	۱۴۴,۱	۲۴۷	۰,۸	۰,۸	۰,۸	۱,۵
kag-32	۵۷۰۷۷۳	۳۷۸۰۹۹۳	۵۶,۶	۱۳۸,۸	۱۳۳,۸	۰,۸	۰,۸	۰,۸	۱,۵
kag-33	۵۷۱۰۶۴	۳۷۸۰۸۰۴	۴۱,۴	۵۵,۸	۱۱۴,۹	۰,۸	۰,۸	۰,۸	۱,۵
kag-34	۵۷۱۱۱۷	۳۷۸۱۱۷۴	۳۵,۵	۳۴,۲	۱۳۹,۳	۳	۰,۸	۰,۸	۱,۵
kag-35	۵۷۰۷۰۵۶	۳۷۸۱۴۰۳	۲۹,۶	۷۰,۸	۷۶	۹,۵	۰,۸	۰,۸	۱,۵
kag-36	۵۷۰۷۹۱	۳۷۸۱۱۷۸	۷۴,۵	۸۱,۳	۱۵۰,۳	۰,۸	۰,۸	۰,۸	۱,۵
kag-37	۵۷۰۰۴۱	۳۷۸۱۱۷۸۵	۹۰۰۰	۸-	۱۳۰۰	۰,۸	۰,۸	۰,۸	۱,۵
kag-38	۵۶۹۹۲۰	۳۷۸۲۲۸۱	۲۰۰۰	۳۷۷	۹۵۳,۹	۰,۸	۰,۸	۰,۸	۱,۵
kag-39	۵۷۲۲۵۱۳	۳۷۸۰۴۸۷	۳۲۰۰	۹۱۶,۶	۱۳۰۰	۰,۸	۰,۸	۰,۸	۱,۵
kag-40	۵۷۲۲۵۷۰	۳۷۸۰۱۹۶	۱۳۰۰۰	۱۲۱,۹	۸۵۹,۷	۲۶,۴	۰,۸	۰,۸	۱,۵
kag-41	۵۷۲۲۵۹۱	۳۷۸۰۲۲۱	۱۳۰۰۰	۵۱۶,۲	۲۰۰۰	۲۰,۶	۰,۸	۰,۸	۷
kag-42	۵۷۲۲۷۴۱	۳۷۸۰۳۲۲	۴۸,۸	۳۴۰,۱	۱۱۲,۱	۰,۸	۰,۸	۰,۸	۱,۵
kag-43	۵۷۲۲۹۶۳	۳۷۸۰۲۹۸	۱۰۷,۱	۲۵۹,۶	۲۷۰,۱	۰,۸	۰,۸	۰,۸	۱,۵
kag-44	۵۷۲۲۹۲۰	۳۷۸۰۴۶۰	۷۳,۲	۱۲۲,۳	۱۱۴,۸	۳۰	۰,۸	۰,۸	۱,۵
kag-45	۵۷۲۳۱۶۹	۳۷۸۰۶۵۲	۶۲,۷	۷۴۰,۸	۸۵۶,۱	۲۱,۴	۰,۸	۰,۸	۶
kag-46	۵۷۲۳۳۹۶	۳۷۸۰۵۶۳	۱۰۷,۹	۴۱۶,۹	۲۹۱,۸	۱۷,۴	۰,۸	۰,۸	۱,۵
kag-47	۵۷۳۰۶۰	۳۷۸۰۹۳۹	۳۰۹,۹	۱۶۰۰۰	۸۸۲,۸	۱۵,۱	۰,۸	۰,۸	۱,۵

ادامه جدول ۳

kag-48	۵۷۲۲۱۰	۳۷۸۱۵۱۸	۲۵,۸	۲۱,۸	۵۷,۳	۰,۸	۰,۸	۸	۱,۵
kag-49	۵۷۲۱۵۸	۳۷۸۱۹۴۹	۳۴,۰	۸۸۷,۷	۲۰۱۰	۱۸,۶	۰,۸	۸	۸,۰
kag-50	۵۷۲۳۴۴	۳۷۸۱۳۱۵	۸۲۶,۴	۴۱۰	۱۸۰	۱۶,۵	۰,۸	۸	۱,۵
kag-52	۵۷۳۶۲۶	۳۷۸۱۲۰۱	۴۷	۲۸۲,۲	۲۸۷,۳	۲۱	۰,۸	۸	۱,۵
kag-53	۵۷۳۸۸۷	۳۷۸۱۳۴۷	۸۱۰,۶	۳۲۰	۱۸۰	۰,۸	۰,۸	۸	۱,۵
kag-54	۵۷۳۹۴۵	۳۷۸۱۴۵۸	۸۶۸,۵	۳۰۰	۱۲۰	۰,۸	۰,۸	۸	۱,۵
kag-55	۵۷۳۱۷۶	۳۷۸۲۸۰۳	۱۷۰	۲۳۰	۱۳۰	۰,۸	۰,۸	۸	۱,۵
kag-56	۵۷۳۲۰۵	۳۷۸۲۶۵۵	۴۷,۲	۱۰۳,۷	۱۳۵,۶	۳	۰,۸	۸	۱,۵
kag-57	۵۷۲۹۵۴	۳۷۸۲۳۲۷	۱۱۲,۸	۱۰۷,۳	۴۶۸,۱	۰,۸	۰,۸	۸	۱,۵
kag-58	۵۷۳۳۷۲	۳۷۸۲۰۵۸	۳۵,۳	۱۲۱,۷	۳۱۳,۳	۰,۸	۰,۸	۸	۱,۵
kag-59	۵۷۳۴۹۸	۳۷۸۲۳۸۷	۱۲۹,۵	۹۰۵,۷	۳۶۹,۵	۲۲,۳	۰,۸	۸	۱,۵
kag-60	۵۷۳۲۷۰	۳۷۸۲۵۲۴	۴۲۰,۲	۲۲۲,۷	۸۳۶,۸	۴	۰,۸	۸	۱,۵
kag-61	۵۷۳۲۶۰	۳۷۸۲۵۵۷	۶۶,۴	۱۱۰	۵۸۷,۲	۰,۸	۰,۸	۸	۱,۵
kag-80	۵۷۱۶۲۱	۳۷۷۹۱۸۰	۱۷۰	۵۵	۵۸۰	۱۰	۰,۸	۸	۱,۵
kag-81	۵۷۱۳۶۲	۳۷۷۹۱۰۴	۲۱۰	۳۱۲	۵۷۵	۱۹,۸	۰,۸	۸	۱,۵
kag-82	۵۷۱۹۰۴	۳۷۷۹۲۶۷	۱۴۰	۶۳۷	۱۳۰	۶	۰,۸	۸	۱,۵
kag-83	۵۷۱۳۸۵	۳۷۷۹۳۳۱	۴۸۰	۵۴	۷۸۰	۳۶	۰,۸	۸	۱,۵
kag-84	۵۷۱۷۷۲	۳۷۷۹۵۲۰	۱۱۵	۱۲۸	۴۵۰	۳۹	۰,۸	۸	۱,۵
kcg-1	۵۷۳۵۳۸	۳۷۸۲۵۸۲	۱۵۵,۷	۶۵۹,۳	۳۳۸,۵	۸	۰,۸	۸	۱,۵
kcg-2	۵۷۳۶۱۷	۳۷۸۲۶۶۷	۲۰۸,۶	۸۵۸,۳	۵۸۸,۲	۱۱,۱	۰,۸	۸	۱,۵
kcg-3	۵۷۳۶۱۶	۳۷۸۲۶۹۲	۱۷۷,۴	۴۶۱,۸	۴۴۸,۴	۱۰,۳	۰,۸	۸	۱,۵
kcg-4	۵۷۳۲۲۸۵	۳۷۸۲۸۳۴	۱۳۶,۲	۲۲۲,۵	۱۹۷,۵	۳	۰,۸	۸	۱,۵
kcg-5	۵۷۳۴۲۲۳	۳۷۸۳۱۲۰	۶۱۳,۹	۳۳۰	۱۷۰	۰,۸	۰,۸	۸	۱,۵
kcg-7	۵۷۳۶۹۸	۳۷۸۳۰۴۲	۳۷,۷	۴۴,۷	۵۱۵,۵	۰,۸	۰,۸	۸	۱,۵
kcg-8	۵۷۳۶۹۵	۳۷۸۳۰۱۳	۱۳۳,۱	۵۹۶,۱	۷۲۰,۳	۲۲,۵	۰,۸	۸	۱,۵
kcg-9	۵۷۳۶۵۲	۳۷۸۲۷۰۱	۱۴۳,۷	۳۹۵,۲	۴۰۸,۹	۸	۰,۸	۸	۱,۵
kcg-10	۵۷۳۶۵۲	۳۷۸۲۷۰۱	۴۴۷,۳	۱۹۰	۶۷۲,۱	۱۳,۲	۰,۸	۸	۱,۵
kcg-11	۵۷۳۵۴۰	۳۷۸۳۲۸۱	۲۳۷,۹	۲۰۰	۶۶۰	۳۲,۸	۰,۸	۸	۱,۵
kcg-12	۵۷۳۷۹۰	۳۷۸۳۴۷۰	۵۰	۴۴,۱	۹۶,۴	۰,۸	۰,۸	۸	۱,۵
kcg-13	۵۷۴۱۲۰	۳۷۸۳۸۹۷	۱۴۳,۸	۴۰۵۰	۱۱۰	۲۲,۱	۰,۸	۸	۸,۰
kcg-14	۵۷۴۵۶۷	۳۷۸۳۹۸۶	۱۰	۲۴۷,۲	۱۹۹,۲	۰,۸	۰,۸	۸	۱,۵
kcg-15	۵۷۴۹۲۷	۳۷۸۳۹۹۴	۱۶,۹	۴۵,۸	۲۰	۰,۸	۰,۸	۸	۱,۵
kcg-16	۵۷۵۰۶۳	۳۷۸۴۸۰۹	۱۳۷,۸	۴۲۹,۲	۴۲۷	۰,۸	۰,۸	۸	۱,۵
kcg-17	۵۷۵۲۱۹	۳۷۸۴۴۰۵	۱۲۶۲	۶۶۲,۳	۲۶۹,۸	۰,۸	۰,۸	۸	۱,۵
kcg-18	۵۷۵۱۷۲	۳۷۸۳۷۹۳	۳۱,۸	۹۷	۱۷۹	۰,۸	۰,۸	۸	۱,۵

جدول ۴ نتایج تجزیه طلا نمونه‌های سنگی [۸, ۱]

Sample	X	Y	Au (ppb)	Sample	X	Y	Au (ppb)
KAG- 54	۵۷۳۹۴۵	۳۷۸۱۵۱۸	۹۰۰	KAG1	۵۶۹۷۹۷	۳۷۸۴۰۰۶	۶۰
KAG- 28	۵۷۲۴۲۰	۳۷۸۰۲۴۶	۱۸۰	KAG5	۵۶۹۵۶۱	۳۷۸۲۶۵۷	۳۴۰
KAG- 55	۵۷۳۱۷۶	۳۷۸۲۸۰۳	۱۰۱۰	KAG7	۵۶۷۸۸۲	۳۷۸۱۶۶۱	۳۴۰
KAG- 39	۵۷۲۵۱۳	۳۷۸۰۴۸۷	۶۲۰	KAG9	۵۶۸۲۸۳	۳۷۸۲۳۳۱	۴۸
KAG- 41	۵۷۲۵۹۱	۳۷۸۰۲۲۱	۲۲۰	KAG15	۵۶۹۴۷۱	۳۷۷۹۴۱۷	۶۰
KAG-49	۵۷۲۱۵۸	۳۷۸۱۹۴۹	۸۰	KAG28	۵۷۰۱۲۳	۳۷۸۱۰۷۶	۴۵۰



شکل ۱۲ نقشه‌های ژئوشیمی نمونه‌های سنگی [۱، ۸].

زیاد در الیگوسن-میوسن نفوذ کرده و در مقاطع زمانی بعد نیز این فرایند ادامه داشته است.

توده‌های آذرین نیمه عمیق متعددی در این گستره، برای اولین بار معرفی شدند. این توده‌ها از طیف ترکیبی هورنبلند دیوریت پورفیری، هورنبلند بیوتیت دیوریت پورفیری، هورنبلند بیوتیت کوارتز مونزونیت پورفیری، بیوتیت کوارتز مونزونیت

برداشتها و پیشنهادها

از آنجا که در کنگلومرات سازند کرمان (کرتاسه فوقانی-پالئوسن تحتانی) سنگهای آتشفسانی و توده‌های نفوذی مشاهده نشدند، فعالیت ماقمایی به صورت آتشفسانی از حدود اوسن شروع و در طول ترشیاری در مقاطع زمانی مختلف ادامه داشته است. توده‌های دیوریتی و کوارتز مونزونیتی، به احتمال

mineralization", J. of Asian Earth Sciences, 25, (2005) 961-980.

[5] Lensch G., Schmidt K., "Plate tectonic, orogeny, and mineralization in the Iranian fold belts results and conclusions", N. Jb. Geol. Palaont. Abh. 168, 2/3: 558-568 (1984).

[6] Tarkian M., Lotfi M., Baumann A., "Magmatic copper and Lead Zinc ore deposits in the Central Lut, Eastern Iran", N. Jb. Geol. Palaont. Abh, 168, 2/3: 497-523 (1984).

[7] Tarkian M., Lotfi M., Bauman A., "Tectonic, magmatism and the formation of mineral deposits in central Lut, East of Iran", Geol. Survey of Iran, Rep. No. 57, p. 357-383 (1983).

[8] پورخسرو م., "پترولوزی، آلتراسیون، آکتشافات ژئوشیمیایی و کانی‌سازی منطقه کجه شمال غرب فردوس"، پایان نامه کارشناسی ارشد زمین‌شناسی اقتصادی. گروه زمین‌شناسی دانشگاه فردوسی مشهد (۱۳۸۵).

[9] Cox K.G., Bell J.D., Pankhurst R.J., "The interpretation of igneous rocks", London, Allen and Unwin, 450 p (1979).

[10] خراسانی م., "پترگرافی، ژئوشیمی و پترولوزی سنگهای آتشفشارانی غرب فردوس"، پایان نامه کارشناسی ارشد پترولوزی، دانشگاه تربیت معلم تهران, ۱۴۵ صفحه (۱۳۷۸).

[11] کریم‌پور م., عاشوری ع., سعادت س., قورچی م., "پترولوزی، پتروفیزیک، موقعیت تکتونیکی و کانی‌سازی توده‌های نفوذی و سنگ‌های آتشفشارانی طاهرآباد و شرق بجستان" در مرحله چاپ مجله زمین‌شناسی ایران دانشگاه فردوسی مشهد (۱۳۸۶).

[12] Shand S.J., "Eruptive Rocks", John Wiley & Sons (1943).

[13] Peccarillo A., Taylor S.R., "Geochemistry of the Eocene calc-alkaline volcanic rocks from the Kastamonu area northern Turkey", Contributions to Mineralogy and Petrology, Vol.58, (1976) p.63-81.

[14] McDonough W.F., Frey F.A., "REE in upper mantle rocks. In: Geochemistry and mineralogy of rare Earth elements", Lipin, B. and McKay, G.R. (Editors), Mineralogical Society of America, Chelsea, Michigan. (1989) 99-145.

[15] سازمان صنایع و معادن استان خراسان رضوی، "گزارش اکتشاف مقدماتی مس، سرب و روی چاه پالون فردوس", ۱۲۳، صفحه (۱۳۸۱).

پورفیری، کوارتز مونزوندیوریت پورفیری، هورنبلند کوارتز مونزونیت پورفیری، کوارتز مونزونیت پورفیری، و گرانیت پورفیری برخوردارند.

توده‌های نفوذی منطقه رحیمی در ردی بندی ایشی‌هارا [۱۶] بیشتر در گستره سری مگنتیت یا گرانیتهای اکسیدی بوده و گرانیت پورفیری از سری ایلمینیت است. به استثنای گرانیت پورفیری تمامی توده‌ها در ردی‌بندی چاپل [۱۷] جزء گرانیتهای نوع (I) هستند.

شناصایی دو مجموعه از زون دگرسان؛ ۱- مجموعه زون-های سیلیسی (سیلیس- سریسیت- پروپیلیتیک)، زون سیلیس - پروپیلیتیک و زون سیلیس - سریسیت واقع در خاور نقشه در راستای گسل رحیمی و گسل کجه که به توده گرانیت پورفیری وابسته هستند. ۲- مجموعه دگرسانی پروپیلیتیک، سریسیتیک و آرژیلیک در مرکز و باخترا نقشه که با مجموعه توده‌های نفوذی مونزونیت - کوارتز مونزونیت و دیوریت ارتباط دارند.

کانی‌سازی وابسته به گرانیت پورفیری دارای نابهنجاری Mo, Pb, Zn, Ag رگهای با کوارتز مونزونیت- مونزونیت پورفیری وابسته‌اند. نابهنجاری عناصر Cu, Pb, Au, Zn, Ag در این گستره مشاهده شد. بر پایه توده‌های آذرین نیمه عمیق مونزونیت - کوارتز مونزونیت و دیوریت، نوع و گسترش زون‌های دگرسان و نابهنجاری عناصر Cu, Pb, Au, Zn, Ag احتمالاً در منطقه کانی‌سازی مس پورفیری تشکیل شده است.

مراجع

[۱] خسروی م., "پترولوزی، آلتراسیون، کانی‌سازی و آکتشافات ژئوشیمیایی منطقه رحیمی شمال غرب فردوس"، پایان نامه کارشناسی ارشد زمین‌شناسی اقتصادی. گروه زمین‌شناسی دانشگاه فردوسی مشهد (۱۳۸۵).

[2] Dehghani G., "Schwerefeld und Krustenaufbau in Iran- Hamburger Geophys", Einzelscher., R. A., H., 54, S., Hamburg (1981).

[۳] آقانباتی ع., "زمین‌شناسی ایران، سازمان زمین‌شناسی و اکتشافات معدنی کشور", (۱۳۸۳) ۵۸۶ صفحه.

[4] Esmaeily D., Nedelec M.V., Valizadeh F., Moore J., Cotton, "Petrology of the Jurassic Shah-kuh granite (Eastern Iran), with reference to tin

[16] Ishihara S., "The magnetite-series and ilmenite-series granitic rocks", Mining geology, Japan, 27, (1977) p. 43- 300.

[17] Chappel B.C., White A.J.R., "Two contrasting granite types", Pacific Geology, 8, (1974) 173-174.